



FOTO 1. 30-15 G.S. - R.M. 9501 - Niveles de gravas con estratificación cruzada planar a gran escala correspondientes a un sistema de barras longitudinales de canales tipo braided. Depósitos del Piedemonte Pirenaico.



FOTO 2. 30-15 G.S. - R.M. 9502 - Sistema de canales arenosos meandriformes y lutitas de llanura de inundación. Parte inferior de la Unidad de Zuera.



FOTO 3. 30-15 G.S. - R.M. 9503 - Nivel de ignimbritas intercalado en un tramo lutítico de la Unidad de Zuera.



FOTO 4. 30-15 G.S. - R.M. 9504 - Calizas con estratificación ondulante - megaripples de oscilación- del techo de la Unidad de Zuera.



FOTO 5. 30-15 G.S. - R.M. 9505 -Canal de areniscas de grano fino, con laminación cruzada planar, ripples y bioturbación a techo. Unidad de Galocha.



FOTO 6. 30-15 G.S. - R.M. 9506 - Laminación cruzada planar y en surco. Areniscas canalizadas de la Unidad de Galocha.



FOTO 7. 30-15 G.S. - R.M. 9507 - Ripples de oscilación y estratificación ondulante en las capas calcáreas de la Unidad de Galocha.



FOTO 8. 30-15 G.S. - R.M. 9508 - Tunel de pipping exhumado formando un arco natural en depósitos limo-arcillosos con gravas de vales. El arco tiene 2 m de altura por 1.5 m de anchura.



FOTO 9. 30-15 G.S. - R.M. 9509 - Tunel de pipping exhumado formando un arco natural en depósitos limo-arcillosos con gravas de fondos de vales. El arco tiene 2 m de altura por 1.5 m de anchura



FOTO 10. 30-15 G.S. - R.M. 9510 - Canal de arenas de grano medio en la Unidad de la Galocha.

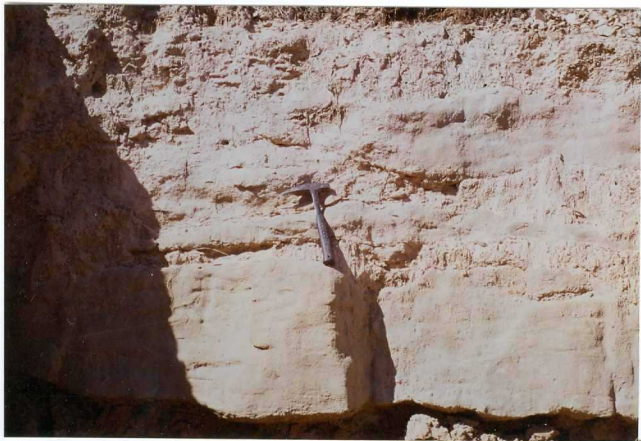


FOTO 11. 30-15 G.S. - R.M. 9511 - Canal de areniscas yesíferas con laminación cruzada. Unidad Zuera.



FOTO 12. 30-15 G.S. - R.M. 9512 - Tollo en surco por colapso de túneles de pipping sobre sedimentos de fondo de vales.



FOTO 13. 30-15 G.S. - R.M. 9513 - Vista de conjunto de los sistemas de canales y lutitas de llanura de inundación de la Unidad de Zueras.



FOTO 14. 30-15 G.S. - S.S 9514 - Facies margosas correspondientes al sistema deposicional de lago salino (sensu HERNANDEZ et al., 1991). Se observa un nivel de calcisiltita con una pequeña fractura. La foto corresponde a la parte media de la Unidad de Zuera.



FOTO 15. 30-15 G.S. - S.S.9515 - Efecto de la acción antrópica en la homogeneización de laderas y depósitos de vales en la parte media - superior de la Unidad de Rosel en el N. de la hoja.



FOTO 16. 30-15 G.S. - S.S. 9516 -Inflexión de las capas de caliza, correspondientes al techo de la Unidad Zuera, en las cercanías de la fractura del flanco S de la fosa del Valle del Junco en las cercanías de Rincón.



FOTO 17. 30-15 G.S. - S.S 9517 - Visión de la misma fractura anterior más hacia el N, en el límite cerca de la hoja de Sariñena, afectando a la parte inferior de la U. Rosel.



FOTO 18. 30-15 G.S. - S.S.9518 -Aspecto en afloramiento de las facies correspondientes al sistema deposicional lacustre-palustre (sensu HERNANDEZ et al., 1991) que constituyen la parte superior de la U. de Rosel.



FOTO 19. 30-15 G.S. - S.S. 9519 - Visión de detalle de una capa de caliza limosa con el techo ondulado a pequeña escala y una costra ferruginosa . Parte basal de la Unidad Alcubierre cerca del Pico de Sigena.



FOTO 20. 30-15 G.S. - S.S 9520 - vista general hacia el WNW. En primer plano se puede observar el pueblo de Valjarta, con la Ermita de San Miquel a la derecha, y al fondo, las estribaciones en la Sierra de Alcubierre en la localidad en la Almolde. Todos los materiales que se observan corresponden a las unidades de Zuera, Rosel y Alcubierre.

* SIN UBICAR *



FOTO 21. 30-15 G.S. - S.S.9521 - Detalle de un paleocanal de tipo point bar y facies de desbordamiento en la parte basal de la U. Rosel. Hoja de Sariñena en las cercanías de la Hoja de Peñalba.

* SIN UBICAR *



FOTO 22. 30-15 G.S. - S.S. 9522 - venas de yeso secundario rellenando grietas de desecación en facies de desbordamiento de la parte inferior de la Unidad Rosel.

SIN UBICAR



FOTO 23. 30-15 G.S. - S.S 9523 - Nivel calizo deformado por procesos de hidratación y deshidratación cuaternarios. Unidad Rosel.



FOTO 24. 30-15 G.S. - S.S.9524 - Aspecto en el afloramiento de las facies palustres de la U. de Zuera. Se observan las arcillas versicolores edafizadas, margas grises y delgadas capas de calizas. Estas capas calizas son más gruesas y numerosas hacia el techo.



FOTO 25. 30-15 G.S. - S.S. 9525 - Detalle de los procesos de pipping desarrollados en las facies arcillosas del sistema deposicional palustre-lacustre de la Unidad Zuera.



FOTO 26. 30-15 G.S. - S.S 9526 - Deformaciones en un nivel caliza de la Unidad Zuera. Estas deformaciones son debidas a procesos de hidratación-deshidratación, posiblemente acentuadas por algún proceso halocinético.



FOTO 27. 30-15 G.S. - S.S.9527 - Zona endorreica desecada en las cercanías de Bujaraloz. Estas lagunas se desarrollan las facies de lago salino/margen de lago salino de la U. de Zuera.



FOTO 28. 30-15 G.S. - S.S. 9528 - Aspecto de un afloramiento de yeso nodular de aspecto tabular da la U. de Zuera al N. de Bujaraloz.